

01;05;08

## Нелинейная стационарная акустическая волна в твердом теле с дислокациями

© В.И. Ерофеев, В.В. Кажаяев

Нижегородский филиал института машиноведения им. А.А. Благонравова РАН,  
603024 Нижний Новгород, Россия  
e-mail: erf04@sinn.ru

(Поступило в Редакцию 23 сентября 2009 г.)

Показано, что в твердом теле с дислокациями может формироваться нелинейная стационарная акустическая волна. Такая волна является периодической и движется быстрее, чем акустические сигналы в линейной среде. Волна имеет пилообразную форму, длина волны увеличивается с ростом ее амплитуды.

Экспериментальное и теоретическое изучение закономерностей распространения упругих волн в твердом теле с дислокациями активно ведется с середины прошлого века. Результаты экспериментальных исследований свидетельствуют о том, что между характеристиками распространения упругих волн в материале и параметрами дислокационной микроструктуры существует взаимосвязь. Эта взаимосвязь делает возможным изучение дислокационной микроструктуры неразрушающим способом, что имеет практическую ценность, особенно заметную при изучении деформируемых или циклически нагружаемых материалов. В ходе таких нагрузок происходит значительное изменение механических свойств материала, объясняющееся эволюцией его микроструктуры, которая в свою очередь, непосредственно вызвана или контролируется изменениями, происходящими с конфигурацией дислокаций и увеличением их плотности. Следовательно, отслеживая при помощи упругих волн изменения, происходящие с дислокационной структурой, можно оценивать механические свойства материала, а также прогнозировать остаточный ресурс.

Теоретические модели — струнная модель Гранато—Люке [1] и модель Зегера [2], — широко применяющиеся для описания экспериментальных работ, были разработаны довольно давно и не учитывают изменений, происходящих с дислокационной структурой деформируемых или подвергающихся циклическому нагружению материалов. Упомянутые модели пренебрегают взаимодействием дислокаций с решеткой кристалла, а также взаимодействием дислокаций между собой. Для учета таких взаимодействий в [3] предложена следующая математическая модель:

$$\rho \frac{\partial^2 U_i}{\partial t^2} = \frac{\partial}{\partial x_k} P_{ik},$$

$$A \frac{\partial^2 \xi_i}{\partial t^2} + B \frac{\partial}{\partial t} \xi_i = f_i. \quad (1)$$

Здесь  $U$  — упругое смещение,  $\xi$  — дислокационное смещение,  $A$  — масса дислокации,  $B$  — сила трения на единицу длины дислокации,  $P_{ik}$  — тензор напряжений,  $\rho$  — плотность материала,  $f$  — сила, действующая на

дислокацию. Записывая свободную энергию кристалла  $F$  в виде функции переменных деформаций  $U_{ij}$  и дислокационного смещения  $\xi_i$  в виде:

$$F = \frac{1}{2} \lambda_{ijkl} U_{ij} U_{kl} + \frac{1}{2} c_{ik} \xi_i \xi_k + \frac{1}{2} \beta'_{ijkl} (b_i \xi_j + b_j \xi_i) U_{kl} \quad (2)$$

(где  $\lambda_{ijkl}$  — модули упругости,  $c_{ik}$  — модули „жесткости“ дислокации,  $\beta'_{ijkl}$  — тензор акустодислокационного взаимодействия,  $b_j$  — вектор Бюргера и используя равенства:

$$P_{ik} = \frac{\partial}{\partial U_{ik}} F, \quad f_i = -\frac{\partial}{\partial \xi_i} F, \quad (3)$$

можно с учетом выражения для свободной энергии кристалла  $F$ , вычислить правые части в уравнениях (1).

В рамках линейных уравнений (1) в [4,5] проанализировано влияние плотности дислокаций на дисперсию фазовой скорости волны, величину и характер затухания. Проведено сравнение полученных результатов с экспериментальными данными по изучению характеристик распространения упругих волн в образцах с изменяющейся плотностью дислокаций (деформируемых и циклически нагружаемых образцах).

Начиная с некоторого порогового значения, амплитуды ультразвука и плотности дислокаций в материале амплитуда колебаний дислокаций достигает величины, соизмеримой с расстоянием между дислокационными линиями. При этом будет происходить активное взаимодействие дислокаций, которое приводит к необходимости учета нелинейности системы (1).

В [6,7] рассматривалось влияние дислокаций на параметры нелинейных квазигармонических волн, при этом в [6] учитывалась нелинейность дислокационной подсистемы, т.е. масса дислокации и сила трения на единицу длины дислокации рассматривались как суммы постоянных и пульсационных составляющих. При этом пульсационные составляющие считались пропорциональными квадрату дислокационного смещения  $\xi$ :

$$A = A_0(1 + A_1 \xi^2), \quad B = B_0(1 + B_1 \xi^2). \quad (4)$$

Учет такой нелинейности позволил описать модуляционную неустойчивость или самомодуляцию — фор-

мирование из квазигармонической волны отдельных волновых пакетов. Если учесть нелинейность упругой подсистемы и рассматривать далее плоскую волну, распространяющуюся вдоль оси  $x$  в кубическом кристалле, однородном вдоль осей  $y$  и  $z$ , то из (1) и (3) получим следующие уравнения движения ( $U_k = U$ ,  $\xi_i = \xi$ ,  $i, k = 1$ ):

$$\frac{\partial^2}{\partial t^2} U - c^2 \left( 1 + \alpha \frac{\partial U}{\partial x} \right) \frac{\partial^2}{\partial x^2} U = \frac{\beta}{\rho} \frac{\partial \xi}{\partial x},$$

$$A \frac{\partial^2 \xi}{\partial t^2} + B \frac{\partial \xi}{\partial t} = -\beta \frac{\partial U}{\partial x}, \quad (5)$$

где  $c$  — скорость, с которой распространялась бы продольная волна, если бы в материале не было дислокаций, а  $\beta = \beta_{ijkl} \cdot \beta_j$  — коэффициент акустодислокационного взаимодействия,  $\alpha = \frac{3\lambda + 6\mu + \nu_1 + 6\nu_2 + 8\nu_3}{\lambda + \mu}$  — коэффициент, характеризующий нелинейность материала,  $\lambda, \mu$  — константы Ламе второго порядка,  $\nu_{1-3}$  — константы Ламе третьего порядка [8,9].

Система (5) сводится к одному уравнению относительно упругого смещения:

$$\frac{\partial^4 U}{\partial t^4} - c^2 \frac{\partial^4 U}{\partial x^2 \partial t^2} + \frac{B}{A} \left( \frac{\partial^3 U}{\partial t^3} - c^2 \frac{\partial^3 U}{\partial x^2 \partial t} \right) + \frac{\beta^2}{A\rho} \frac{\partial^2 U}{\partial x^2}$$

$$= \frac{c^2 \alpha}{2} \frac{\partial^3}{\partial x \partial t^2} \left( \frac{\partial U}{\partial x} \right)^2 + \frac{c^2 \alpha B}{2A} \frac{\partial^2}{\partial x \partial t} \left( \frac{\partial U}{\partial x} \right)^2. \quad (6)$$

Если влияние диссипации на эволюцию волновых процессов в (6) мало  $\frac{B}{A} \rightarrow 0$ , то в результате конкуренции дисперсионных и нелинейных факторов в системе могут сформироваться стационарные волны.

Решение уравнения (6) будем искать в виде:  $U(x, t) = U(\eta)$ , где  $\eta = x - Vt$ ,  $V$  — скорость стационарной волны (заранее не известна). Волна смещения в этом случае описывается обыкновенным дифференциальным уравнением:

$$\frac{d^2 U}{d\eta^2} + \frac{\beta^2 U}{A\rho V^4 \left[ 1 - \frac{c^2}{V^2} \left( 1 + \alpha \frac{dU}{d\eta} \right) \right]} = 0. \quad (7)$$

Если  $V > c$ , т.е. если нелинейная волна распространяется быстрее, чем линейная, то заместитель во втором слагаемом этого уравнения можно разложить в ряд Тейлора, и (7) преобразуется к виду:

$$\frac{d^2 U}{d\eta^2} + m_1 U + m_2 \frac{d(U^2)}{d\eta} = 0, \quad (8)$$

где  $m_1 = \frac{\beta^2(1 + \frac{c^2}{V^2})}{A\rho V^4}$ ,  $m_2 = \frac{\beta^2 c^2 \alpha}{2A\rho V^6}$ .

Первая из констант всегда положительна ( $m_1 > 0$ ). Знак второй константы определяется знаком коэффициента нелинейности  $\alpha$ . Для большинства металлов и их сплавов  $\alpha < 0$  ( $m_2 < 0$ ) [8], для некоторых композитов  $\alpha > 0$  ( $m_2 > 0$ ).

Анализ уравнения (8) на фазовой плоскости ( $U, \frac{dU}{d\eta}$ ) показывает, что в начале координат имеется особая точка типа „центр“. Прямая ( $\frac{dU}{d\eta} = \varepsilon^*$ ) определяет устойчивые движения (замкнутые фазовые траектории). Эта величина характеризует максимальную осевую деформацию.

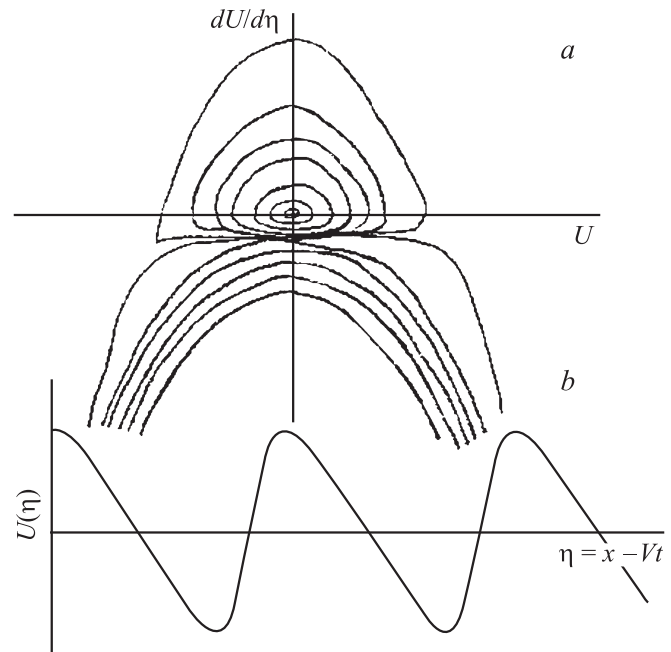


Рис. 1. Фазовый портрет (a) и профиль стационарной волны (b) при  $\alpha < 0$  (металлы, сплавы).

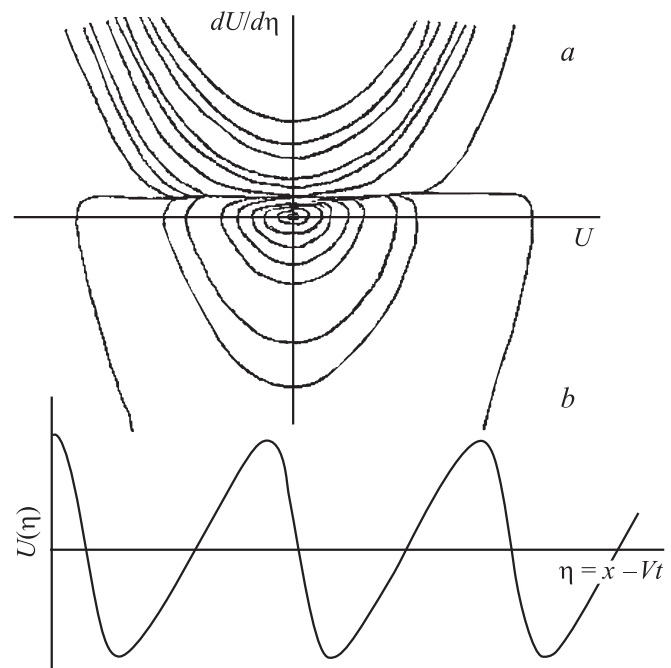
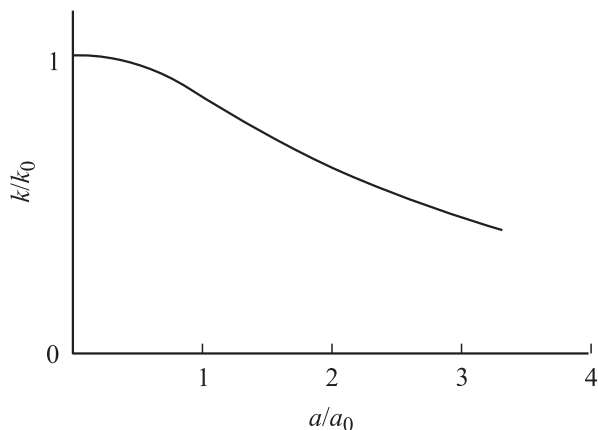
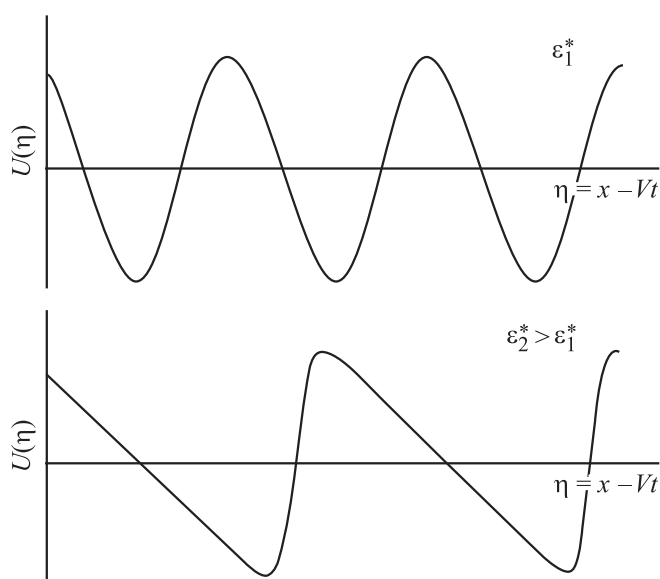


Рис. 2. Фазовый портрет (a) и профиль стационарной волны (b) при  $\alpha > 0$  (композиты).



**Рис. 3.** Зависимость волнового числа стационарной волны от ее амплитуды.



**Рис. 4.** Профили нелинейной волны при фиксированной амплитуде и различных значениях деформации.

Фазовый портрет позволяет оценить зависимость волнового числа нелинейной волны ( $k$ ) от ее амплитуды ( $a$ ):

$$\frac{k}{k_0} = \frac{1}{\sqrt{1 + \left(\frac{a/a_0}{\pi \varepsilon^*}\right)^2}},$$

где  $k_0 a_0$  — волновое число и амплитуда гармонической (линейной) волны.

С ростом амплитуды волны относительное значение волнового числа уменьшается (длина волны растет) (рис. 3). При  $\frac{a}{a_0} \rightarrow \infty, \frac{k}{k_0} \rightarrow \frac{\varepsilon^*}{a/a_0}$ . Профили нелинейной волны при фиксированной амплитуде ( $a/a_0 = \text{const}$ ) и различных значениях деформации ( $\varepsilon^*$ ) приведены на рис. 4.

Работа выполнена при финансовой поддержке Российского фонда фундаментальных исследований (грант № 09-08-00827, 08-08-97058-р\_поволжье).

### Список литературы

- [1] Granato A., Lucke K // J. Appl. Phys. 1956. Vol. 27. № 6. P. 583–593.
- [2] Труэлл Р., Эльбаум Ч., Чик Б. Ультразвуковые методы в физике твердого тела. М.: Мир, 1972. 308 с.
- [3] Бурлак Г.Н., Островский И.В. // Письма в ЖТФ. 1997. Т. 23. Вып. 18. С. 69–74.
- [4] Ерофеев В.И., Ромашов В.П. // Письма в ЖТФ. 2002. Т. 28. Вып. 6. С. 6–11.
- [5] Ерофеев В.И., Ромашов В.П. // Дефектоскопия. 2004. № 1. С. 59–64.
- [6] Ерофеев В.И. // Письма в ЖТФ. 2008. Т. 34. Вып. 4. С. 32–36.
- [7] Шекоян А.В. // Письма в ЖТФ. 2009. Т. 35. Вып. 7. С. 93–97.
- [8] Зарембо Л.К., Красильников В.А. // УФН. 1970. Т. 102. № 4. С. 549–586.
- [9] Лурье А.И. Нелинейная теория упругости. М.: Наука, 1980.

цию, вызываемую распространением упругой волны:

$$\varepsilon^* = \frac{m_1}{2m_2} = \frac{1}{\alpha} \left( \frac{v^2}{c^2} + 1 \right). \quad (9)$$

По модулю деформация растет с увеличением относительного значения скорости нелинейной стационарной волны, т.е.  $|\varepsilon^*| \sim (V/c)^2$ , и уменьшается с увеличением  $\alpha$ :  $|\varepsilon^*| \sim 1/|\alpha|$ .

На рис. 1 показан фазовый портрет уравнения (7) при  $\alpha < 0$  (металлы, сплавы) ( $a$ ) и профиль стационарной волны при деформациях, близких к  $\varepsilon^*$  ( $b$ ). Аналогичные построения, выполненные для случая  $\alpha > 0$  (композиты), показаны на рис. 2.